

ВЫЯВЛЕНИЕ ИСТОЧНИКОВ РАДИОАКТИВНОГО ИЗЛУЧЕНИЯ ПРИ ПОМОЩИ МЕТОДА НЕЗАВИСИМЫХ КОМПОНЕНТ

Предлагаемый в работе метод позволяет повысить точность локализации и идентификации источника излучения. При наличии системы датчиков расположенных на различных расстояниях от источника излучения, либо под различными углами к источнику становится возможным произвести выделение скрытого источника при помощи анализа независимых компонент (independent component analysis, ICA)

Возникновение и развитие радиационных аварий проходит, как правило, в очень короткий срок, что требует принятия безотлагательных мер по их ликвидации. Это соответственно налагает очень жесткие требования на характеристики автоматизированных систем радиологического контроля. В первую очередь к требованиям относятся - повышение точности, скорости и надежности дозиметрических и радиометрических измерений, определение радионуклидного состава радиационных выбросов, направления их распространения. При проведении оперативного радиационного мониторинга в большинстве случаев невозможно быстрое применение аналитического оборудования стационарных лабораторий. На достоверность и точность измерения данных радиационных полей влияют флуктуации природного радиационного фона, территориальная распределенность источников излучения, сложность спектра их излучения, необходимость проведения измерений в естественной среде и в достаточно короткое время. Поэтому особенно актуальным является создание нового поколения информационно измерительных технологий, с помощью которых можно осуществлять оперативный дистанционный контроль радиационного состояния окружающей среды, локализовать, идентифицировать и воспроизвести параметры полей радиоактивного загрязнения с высокой пространственной разрешающей способностью, достоверностью и точностью. Предлагаемый в работе метод позволяет повысить точность локализации и идентификации источника излучения. При наличии системы датчиков расположенных на различных расстояниях от источника излучения, либо под различными углами к источнику становится возможным произвести выделение скрытого источника при помощи анализа независимых компонент [1, 2, 3, 4].

Задача выделения скрытых источников. В задачах *выделения скрытых источников* (ВСИ) данные представлены выборкой L векторов выходов $D_L = \{\mathbf{y}_i\}_{i=1,L}$, $\mathbf{y}_i \in \mathcal{R}^N$. Известно, что вектор выходов \mathbf{y} связан с вектором входов (источников) $\mathbf{x} \in \mathcal{R}^N$ линейной моделью: $\mathbf{y} = \mathbf{A}\mathbf{x}$, где $\mathbf{A} \in \mathcal{R}^{N \times N}$ –

матрица смешивания полного ранга – неизвестна. Задача состоит в восстановлении L ненаблюдаемых векторов \mathbf{x} (матрицы \mathbf{X}) по L наблюдениям \mathbf{y} (по матрице $\mathbf{Y} \in \mathfrak{R}^{L \times N}$) путем отыскания разделяющей матрицы $\mathbf{W} = (\mathbf{w}_1, \dots, \mathbf{w}_N)^T \in \mathfrak{R}^{N \times N}$ и выполнения $\mathbf{Y}\mathbf{W} = \mathbf{X}$.

Для решения задачи ВСИ известные методы используют априорные предположения об источниках:

- их статистической независимости и негауссовости распределения (анализ независимых компонент *ICA*),
- некоррелированности и гауссовости распределения (анализ главных компонент *PCA*),
- разреженности (анализ разреженных компонент *SCA*),
- независимости составляющих сигналов источников в узкой полосе частот (анализ независимых компонент в поддиапазонах).

Для лучшего понимания задачи выделения скрытых источников рассмотрим пример. Представим, что в комнате одновременно разговаривают два человека. И имеются два микрофона, расположенных в разных местах. С микрофонов мы получаем две записи, $y_1(t)$ и $y_2(t)$ – амплитуды сигналов, t – время. Каждый сигнал $y_1(t)$, $y_2(t)$, принятый с микрофона, представляет собой взвешенную сумму сигналов $x_1(t)$ и $x_2(t)$ порождаемых говорящими людьми. Теперь, для отдельно взятого момента времени, мы можем записать следующие соотношения: $y_1(t) = a_{11}x_1(t) + a_{12}x_2(t)$; $y_2(t) = a_{21}x_1(t) + a_{22}x_2(t)$; Коэффициенты a_{11} , a_{12} , a_{21} , a_{22} – зависящие от расстояния между микрофонами и говорящими. Оказывается, что мы можем выделить сигналы скрытых источников (голоса отдельных людей), располагая только лишь сигналами смесей $y_1(t)$ и $y_2(t)$ и информацией о статистической независимости источников. Методы позволяющие сделать это, разработаны в рамках направления ВСИ.

Анализ главных компонент. В рамках анализа главных компонент разделяющее преобразование сигналов смесей \mathbf{y} в \mathbf{x}^* осуществляется следующим образом:

$$\mathbf{x}^* = \mathbf{V}^T \mathbf{y}, \mathbf{W} = \mathbf{V}^T. \quad (1)$$

Здесь \mathbf{V} – матрица собственных векторов ковариационной матрицы $\mathbf{C} = E\{\mathbf{Y}^T \mathbf{Y}\}$ исходных данных (сигналов смесей), получаемая с использованием ее разложения по собственным значениям:

$$\mathbf{C} = \mathbf{V} \mathbf{D} \mathbf{V}^T, \quad (2)$$

\mathbf{D} – матрица собственных значений. *PCA* ориентирует оси в направлении максимальной дисперсии. Так, первый главный компонент $x_1^* = \mathbf{v}_1^T \mathbf{y}$ определяет нормализованную линейную комбинацию тех компонентов исходных векторов, которые дают наибольшее среднее значение дисперсии [3]. Недостатками анализа главных компонент является то, что выделение скрытых источников с его помощью возможно только в случае, когда сигналы источников имеют нормальное распределение и не коррелированы.

Анализ **независимых компонент**. Базовым для анализа независимых компонент [1, 3] является предположение о том, что сигналы источников имеют распределение, отличное от нормального, и являются статистически независимыми. Случайные переменные x_i являются взаимно независимыми, если совместная плотность вероятности $f(x_1, x_2, \dots, x_N)$ может быть представлена в виде произведения маргинальных плотностей вероятности $f_i(x_i)$ [2]:

$$f(x_1, x_2, \dots, x_N) = f_1(x_1) f_2(x_2) \dots f_N(x_N). \quad (3)$$

Используя дифференциальную энтропию H

$$h[f] = - \int_{-\infty}^{\infty} f(x) \log f(x) dx, \quad (4)$$

взаимную информацию I между N случайными переменными x_i , $i = 1, \dots, N$ определяют как [2]:

$$I(x_1, x_2, \dots, x_N) = \sum_{i=1, N} H(x_i) - H(\mathbf{x}). \quad (5)$$

Для независимых сигналов взаимная информация равна нулю [2, 3], так как

$$h(X_1, \dots, X_n) = \sum_{i=1}^n h(X_i | X_1, \dots, X_{i-1}) \leq \sum h(X_i) \quad (6)$$

и равенство выполняется только для независимых x_1, x_2, \dots, x_N . Для *некоррелированных* случайных переменных x_1, x_2, \dots, x_N взаимная информация выражается через неэнтропию следующим образом [2]:

$$I(x_1, x_2, \dots, x_N) = J(\mathbf{x}) - \sum_{i=1, N} J(x_i), \quad (7)$$

$$J(\mathbf{x}) = H(\mathbf{x}_{gavss}) - H(\mathbf{x}), \quad (8)$$

где $J(\mathbf{x})$ – неэнтропия, \mathbf{x}_{gavss} – случайная переменная с нормальным законом распределения и такой же ковариационной матрицей, как и \mathbf{x} . В работе [5] предложена ЦФ, основанная на неэнтропии. Поскольку при вычислении неэнтропии возникает необходимость оценивать $f_i(x_i)$, что трудоемко и не всегда дает достаточную точность, предложено [5] использовать аппроксимацию неэнтропии:

$$J(x) \approx [E\{G(x)\} - E\{G(v)\}]^2, \quad (9)$$

где E – оператор матожидания, G – некоторая неквадратичная функция, x – нормированная центрированная (стандартизованная) случайная переменная, v – стандартизованная случайная переменная с нормальным распределением. Метод анализа независимых компонент, использующий ЦФ, основанную на неэнтропии называется *FastICA*. Аппроксимация неэнтропии (9) дает следующую целевую функцию для ICA оценивания:

$$J_G(\mathbf{w}) = [E\{G(\mathbf{w}^T \mathbf{y})\} - E\{G(\mathbf{v})\}]^2; \quad (10)$$

где \mathbf{w} есть m - мерный вектор такой что $E\{(\mathbf{w}^T \mathbf{y})^2\} = 1$; Максимизируя функцию J_G : определяют первую независимую компоненту $x_i^* = \mathbf{w}^T \mathbf{y}$.

Сравнение функционирования PCA и ICA. Рассмотрим пример работы алгоритмов *ICA* и *PCA*. Пусть имеются две равномерно распределенные статистически независимые случайные переменные x_1 и x_2 . Их совместное распределение изображено на рис. А.2а. Совместное распределение смесей y_1 и y_2 , полученных путем умножения x_1 и x_2 на матрицу смешивания \mathbf{A} , представлен на рис. А.2б. Подадим смеси y_1 и y_2 на вход алгоритмов *ICA* и *PCA*. Рассмотрим результат работы алгоритма *PCA* (рис. А.2в). Видно, что при изменении переменной x_1^* матожидание переменной x_2^* не меняется – это значит, что переменные декоррелированы. При этом, распределение величины x_2^* зависит от того, какое значение приняла x_1^* : $f(x_2^* | x_1^*) = f(x_2^*)$. Это значит, что переменные статистически зависимы. Полученное совместное распределение далеко от исходного (рис. А.2а), т.е. смесь разделена неверно. Это происходит потому, что исходное для разделения источников с помощью *PCA* предположение о нормальном распределении источников в данном случае не соблюдается.

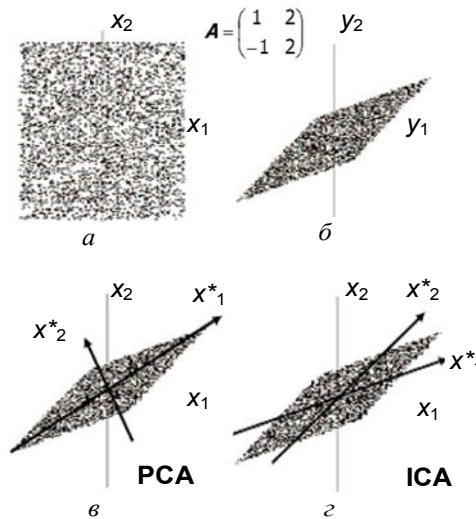


Рис. А.2. Пример разделения смесей методами PCA и ICA. Совместное распределение: а – независимых случайных переменных x_1 и x_2 ; б – смесей y_1 и y_2 ; в – PCA оценок x_1^* и x_2^* ; з – ICA оценок x_1^* и x_2^*

Рассмотрим результат работы алгоритма *ICA* (рис. А.2з). Видно, что при изменении переменной x_1^* не меняется не только матожидание переменной x_2^* , но и ее распределение. Это значит, что переменные – статистически независимы, так как распределение величины x_2^* не зависит от того, какое

значение приняла x_1^* : $f(x_2^*|x_1^*)=f(x_2^*)$. Совместное распределение переменных x_1^* и x_2^* совпадает с исходным (рис. А.2а), задача ВСИ решена.

Алгоритм анализа независимых компонент [7]

Шаг 1: Выбрать начальный вектор весов w ,

Шаг 2: $w^* = E \{x G(w^T x)\} - E \{G'(w^T x)\}w$,

Шаг 3: $w = w^* / \|w^*\|$,

Шаг 4: Если сходимость не достигнута, то перейти к шагу 2.

Экспериментальное исследование. В качестве исходных данных использовались результаты измерения спектров радионуклидов (гамма-излучающих элементов) спектрометрическим трактом, включающим детекторы типа *NaJ(Tl)* 63×63 и ПРС «Вектор». Измеряемый спектр представлял собой вектор из $L=256$ чисел, каждое из которых – количество гамма-квантов, обладающих определенной энергией в диапазоне 120...2000 КэВ. В эксперименте спектр источников излучения Cs^{137} и K^{40} фиксировался одновременно тремя детекторами, расположенными на различных расстояниях от источников. Отметим, что помимо скрытого источника K^{40} , данный гамма - излучающий элемент присутствует также и в фоновом излучении. Измеренные спектры представлены на рис.1. Спектры были поданы на вход алгоритма анализа независимых компонент. Результаты работы алгоритма (выделенные скрытые источники Cs^{137} и K^{40}) представлены на рис.2. Компонент 1 соответствует источнику Cs^{137} , компонент 2 соответствует источнику K^{40} .

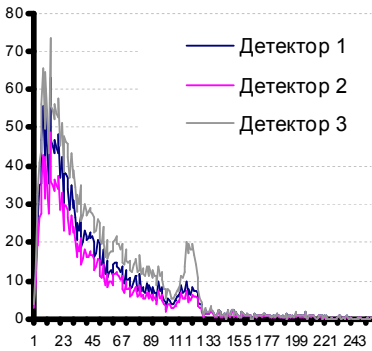


Рис.1. Спектры смесей.

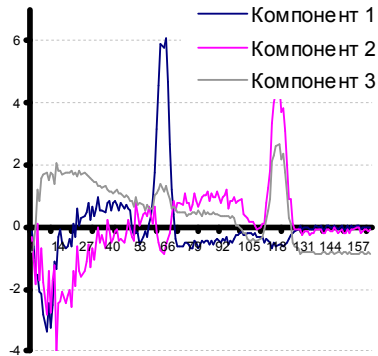


Рис.2. Выделенные независимые компоненты.

Отметим, что предложенный метод выделения скрытых источников не требует измерения фона и не требует априорного знания об отклике детектора, а количество выделяемых скрытых источников зависит только от числа детекторов.

Исследование зависимости ОСШ от уровня мешающего сигнала.

Цель эксперимента – исследовать точность восстановления полезного сигнала из смеси двух сигналов при возрастании уровня мешающего сигнала (УМС). Эксперимент даст возможность понять, ухудшает ли возрастающий уровень мешающего сигнала характеристики восстановления для методов *PCA* и *ICA*.

В данном эксперименте смеси были сформированы путем умножения матрицы сигналов источников на смешивающую матрицу **A**. Сигналы источников представлены: первый – цезий 137, второй – калий 40; УМС изменялся с 5 до 10^5 .

Из смеси методами *PCA*, *ICA* выделялся сигнал цезия-137 и вычислялось соответствующее ОСШ. Зависимость отношения сигнал-шум ОСШ от УМС при отсутствующем аддитивном собственном шуме приведена на рис. 3.

Для *PCA* ОСШ сначала возрастает с ростом УМС, а затем постоянно. Это связано с тем, что *PCA* ориентирует оси новой системы координат по направлению максимальной дисперсии. В случае, когда амплитуды источников сравнимы, выбор направления максимальной дисперсии чувствителен к соотношению амплитуд источников сигнала. Соответственно, при изменении УМС с 10 до 10^3 ОСШ растет. В случае же, когда амплитуда одного из источников намного превышает амплитуду другого, направление максимальной дисперсии определяется максимальной амплитудой, поэтому для УМС с 10^3 до 10^5 ОСШ постоянно.

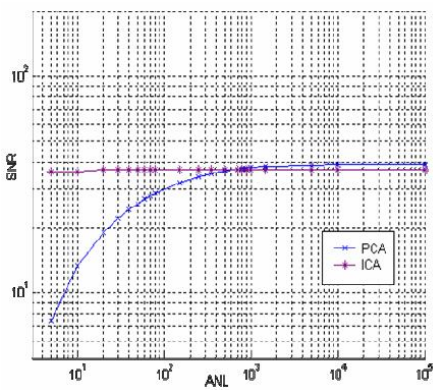


Рис. 3. Зависимость ОСШ= f (УМС) при УСШК=0

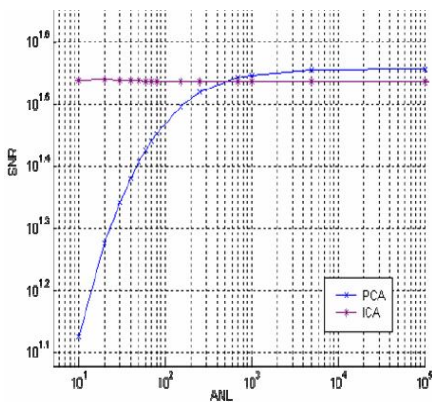


Рис.4. Зависимость ОСШ= f (УМС) при УСШК=0.2

Для алгоритма *ICA* ОСШ не зависит от УМС. Это связано с тем, что *ICA* использует априорное предположение о независимости источников. При одновременном увеличении амплитуды одной из компонент в обеих составляющих смеси взаимная информация между смесями не меняется, и

ОСШ не зависит от УМС одного из источников (при неизменном УМС второго источника). Зависимость $ОСШ=f(УМС)$ при наличии в смесях собственного шума приведена на рис. 4. Видно, что сохраняются описанные выше тенденции поведения характеристики $ОСШ=f(УМС)$ для случая отсутствия шума.

1. *P. Comon*. Independent component analysis: a new concept // *Signal Processing*. – 1994. – 36. – pp. 287-314.
2. *A. Hyvarinen, E. Oja*. Independent Component Analysis: Algorithms and Applications // *Neural Networks*. – 2000. – 13(4-5). – pp. 411-430.
3. *A. Chichocki, S. Amari*. Adaptive Blind Signal and Image Processing. – Wiley. – 2002. – 586 P.
4. *J.F. Cardoso*. Infomax and maximum likelihood for source separation // *IEEE Letters on Signal Processing*. – 1997. – 4. – pp. 112-114.
5. *A. Hyvarinen*. New approximation of differential entropy for Independent Component Analysis and Projection Pursuit // *In Advances in Neural Information Processing Systems*. – MIT Press. – 1998. – 10. – pp. 273-279.
6. *A. Hyvarinen*. Fast and robust fixed-point algorithms for Independent Component Analysis // *IEEE Trans. On Neural Networks*. – 1999. – 10(3). – pp. 626-634.
7. *A. Hyvarinen, E. Oja*. A Fast Fixed-Point Algorithm for Independent Component Analysis. // *Neural Computation*. – 1997. – 9. – pp. 1483-1492.